

### 3.12 Ausbreitung von Störungen für konstante Temperatur

a) Wirbel:

$$\left( \frac{\partial}{\partial t} - \frac{\gamma}{\rho_0} \nabla^2 \right) \text{rot } \underline{v} = \text{rot } \underline{b} \quad (3.72)$$

... Diffusionsgl. für Wirbel/Vortizität

• Green'sche Fkt.:

$$\text{rot } \underline{b} = \delta(x-x_0) S(t) \hat{z}$$

$$\rightarrow G(x-x_0, t) = \frac{\hat{z}}{(4\pi \frac{\gamma}{\rho_0} t)^{3/2}} e^{-\frac{(x-x_0)^2}{4\eta/\rho_0 t}} \quad (3.73)$$

• Folgerung:  
mittleres Verdriftungsquadrat des Wirbels

= mittleres Abstandsquadrat der Verwirbelung von  $x_0$

$$\langle (x-x_0)^2 \rangle = \int (x-x_0)^2 G(x-x_0, t) d^3(x-x_0) = 6 \frac{\eta t}{\rho_0 a}$$

2 x Raum-dimension Diff. konst. diffusive Ausbreitung

Beweis: Übungen

hydrodynam. Zeitskala:

mit  $\ell_H$  ... charakt. Länge

$$\rightarrow \tau_H = \frac{\ell_H^2}{6\eta/\rho_0} \quad (3.76)$$

$$\text{Bsp.: } \ell_H^2 = (1 \mu\text{m})^2, \gamma = 10^{-3} \frac{\text{kg}}{\text{m s}}, \rho_0 = 1 \frac{\text{g}}{\text{cm}^3} = 10^3 \frac{\text{kg}}{\text{m}^3}$$

$$\rightarrow \tau_H = 10^{-7} \text{ s} !$$

• planare Geometrie (1):

$$\text{rot } \underline{b} = \delta(z-z_0) S(t) \hat{z} \longleftrightarrow G(z-z_0, t) = \frac{\hat{z}}{\sqrt{4\pi \frac{\gamma}{\rho_0} t}} e^{-\frac{(z-z_0)^2}{4\eta/\rho_0 t}} \quad (3.77)$$

• planare Geometrie (2):

$\underline{v} = v(z, t) \underline{e}_x \rightarrow \operatorname{div} \underline{v} = 0!$ ,  $b = 0$  in (3.62)

$$\left( \frac{\partial}{\partial t} - \frac{\gamma}{\delta} \frac{\partial^2}{\partial z^2} \right) v(z, t) = 0 \quad (3.78)$$

Ansatz:  $v(z, t) = v(\omega, z) e^{i\omega t}$  in (3.78)

$$\rightarrow \left( i\omega - \frac{\gamma}{\delta} \frac{\partial^2}{\partial z^2} \right) v(\omega, z) = 0 \quad (3.79)$$

$$\rightarrow v(\omega, z) = v(\omega, 0) e^{-i\omega \frac{\delta}{\gamma} z}$$

$$\sqrt{i} = \frac{1}{\sqrt{2}}(1+i) \rightarrow v(\omega, z) = v(\omega, 0) e^{-\frac{(1+i)\omega z}{\sqrt{2}}}$$

exp. Abfall Oszillation

Eindringtiefe der Oszillation:

$$\delta = \sqrt{\frac{2\gamma}{\omega g_0}} \quad (3.81)$$

$$\begin{aligned} \delta &\rightarrow \infty, \omega \rightarrow 0 & !! \\ \delta &\rightarrow 0, \omega \rightarrow \infty \end{aligned}$$

• planare Geometrie (3):

$$\underline{v} = v(z, t) \underline{e}_x$$

Randbed.:

$$(1) v(0, t) = \begin{cases} 0, & t < 0 \\ v_0, & t > 0 \end{cases}$$

$$(2) v(z, 0) = 0, z > 0$$

Lsg.: Superpositionsprinzip! Lsg. von (3.78) für  $z \neq z_0$

$$v(z, t) = v_0 \int_{-\infty}^{\infty} dz_0 2 \Theta(-z_0) G(z - z_0, t) \quad (3.82)$$

$$\hookrightarrow \text{Stufenfunktion: } \Theta(z) = \begin{cases} 1, & z > 0 \\ 0, & z < 0 \end{cases}$$

[Überlagerung 1D Punktgrenzen bei  $z_0 < 0$ ]

denn: erfüllt Randbed.

$$v(0, t) = v_0 \int_{-\infty}^{\infty} dz_0 2 \Theta(z_0) G(-z_0, t) = v_0 \quad \checkmark$$

$= 1$

- Normierung von  $G$  (3.74)  
- Symmetrie bzgl.  $z_0 = 0$

$$v(z, 0) = v_0 \int_{-\infty}^{\infty} dz_0 2 \Theta(-z_0) \delta(z - z_0) = v_0 2 \Theta(-z) \quad \checkmark$$

$$\text{also: } v(z, t) \stackrel{(3.82)}{=} 2v_0 \int_{-\infty}^0 \underbrace{G(z - z_0, t)}_{= \frac{1}{\sqrt{4\pi \frac{z-z_0}{S_0} t}}} dz_0$$

$$= \frac{1}{\sqrt{4\pi \frac{z}{S_0} t}} e^{-\frac{(z-z_0)^2}{4\pi S_0 t}}$$

$$\frac{u = \frac{z-z_0}{\sqrt{4\pi \frac{z}{S_0} t}}}{du = -\frac{dz_0}{\sqrt{4\pi \frac{z}{S_0} t}}}$$

$$v(z, t) = \frac{2v_0}{\sqrt{\pi}} \int_{\frac{z}{\sqrt{4\pi \frac{z}{S_0} t}}}^{\infty} e^{-u^2} du \quad (3.84)$$

$$(1) z \gg \sqrt{4\pi \frac{z}{S_0} t} : v(z, t) = 0$$

$$(2) z \ll " : v(z, t) = v_0$$

$\rightarrow v_0$  bei  $z$  spürbar nach  $\frac{z^2}{4\pi S_0 t} \approx \tau_H$  !!

$\rightarrow \tau > \tau_H$  ... Gültigkeitsbereich für statisches Geschw. profil

• hydrodynamische Moden:  
 Transversalwellen:  $\underline{v} = v(z, t) \underline{e}_x$  mit  $v(z, t) = v(k, \omega) e^{-\xi t + ikz}$

$$\underline{e}_x \uparrow \quad \rightarrow z$$

in (3.78)  $(-\xi + \frac{\gamma}{\xi_0} k^2) v(k, \omega) = 0$

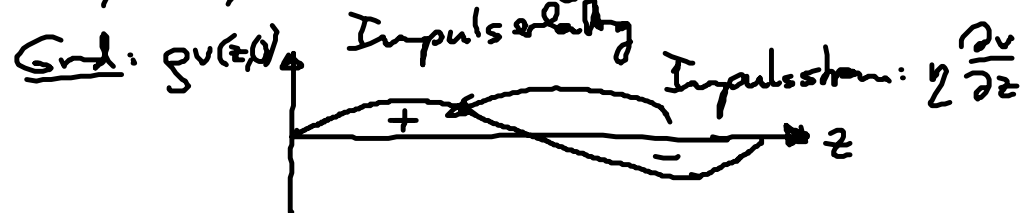
$$\rightarrow \boxed{\xi(k) = \frac{\gamma}{\xi_0} k^2} \quad (3.86)$$

... Dispersionsrelation für Scherwellen  
 $\xi^{-1}$  ... Relaxationszeit für Welle  $e^{ikz}$

$\xi \rightarrow 0 \Leftrightarrow k \rightarrow 0$ !

„unendliche Lebensdauer“ für

hydrodynam. Moden  $\xi = k \rightarrow 0$



### b) Quellen:

$\operatorname{div} \underline{v} \neq 0 \rightarrow \underline{v} = v(x, t) \underline{e}_x \dots$  Longitudinalwelle  
 = Schallwelle

Geschw.:  $C = \left( \frac{\partial p}{\partial \rho} \Big|_S \right)^{-1/2} \approx 10^3 \frac{m}{s}$  für Flüssigkeit  
 isentrope Kompressibilität

also: 1 μm in  $C^{-1}$  1 μm = 1 ns!  
 schneller als Scherwellen!

benötigt Masse-/Energiebilanz → Kap. 3.13

### 3.13 Hydrodynamische Moden

- Motivation:  
5 Erhaltungssätze (Masse, Impuls, Energie)  
→ 5 hydrodynam. Modell
- (Weg): (i) linearisierte Bewegsglgm. (3.15), (3.52), (3.55)  
um homogenen GG-Zustand:

$$\boxed{\begin{aligned} \underline{s} &\rightarrow \underline{s} + \delta\underline{s}(x, t) \\ \underline{v}(x, t) \\ T &\rightarrow T + \delta T(x, t) \end{aligned}} \quad (3.87)$$

statt immer Energie!

(ii) homogener GG-Zustand:  $\underline{s}, \underline{T}$

• erster Satz von Bew. gln.: mit  $\underline{b} = 0, \underline{r}_w = 0$

$$(3.15) \underline{s} \rightarrow \underline{s} + \delta\underline{s} \quad \frac{\partial \delta\underline{s}}{\partial t} + p \operatorname{div} \underline{v} = 0 \quad (3.88)$$

$$(3.62) \underbrace{\underline{v} \cdot \nabla \underline{v} \dots}_{\text{nichtlin.}} \quad \underline{s} \frac{\partial \underline{v}}{\partial t} = -\nabla p + \gamma \nabla^2 \underline{v} + (\gamma + \gamma') \nabla \operatorname{div} \underline{v} \quad (3.89)$$

$$(3.65) \underbrace{\underline{v} \cdot \nabla u \dots}_{\text{nichtlin.}} \quad \underline{s} \frac{\partial u}{\partial t} = -p \operatorname{div} \underline{v} + 2\gamma \nabla^2 T \quad (3.90)$$

• Zerlegung:  $\underline{v}(x, t) = \underline{v}_l(x, t) + \underline{v}_t(x, t)$  mit  $\operatorname{div} \underline{v}_t = 0$  (3.91)

$\downarrow$ 
longitudinaler  
Anteil
 $\uparrow$ 
transversal  
Anteil

rot  $\underline{v}_l = 0$

### a) Transversalmoden

• Gleichg für  $\underline{v}_t$ : wegen  $\operatorname{rot} \nabla p = 0$  und  $\operatorname{div} \underline{v}_t = 0$

$$(3.89) \rightarrow \left( \frac{\partial^2}{\partial t^2} - \frac{\gamma}{\rho} \nabla^2 \right) \underline{v}_t = 0 \quad (3.92)$$

• Schwingmoden: s. Kap. 3.12 & keine Kopp. an  $\delta\underline{s}, \delta T$ !  
 $\underline{v}_t = v_t(k, \xi) e^{-j\omega t + ik \cdot x}$

$$\text{mit } \underline{v}_t(k, \xi) \perp k \iff \operatorname{div} \underline{v}_t = 0$$

$$\text{int. 92)} \rightarrow \boxed{\xi_{1/2}(k) = \frac{\gamma}{\omega} k^2}$$

... 2 Schermoden für

2  $x_t(k, \omega) \perp$  !

reine diffusive Moden (keine Propagation)

b) Longitudinalmoden:

- wichtige thermodynam. Relationen: 5. Tolie